

Signaux et Systèmes

Chapitre 3

Représentation des signaux par séries de Fourier

TABLE DES MATIERES

3.1 Signaux et vecteurs

3.2 Comparaison de signaux

- Corrélation
- Détection de signaux

3.3 Approximation de signaux

- Système orthonormal de fonctions
- Approximation aux moindres carrés

3.4 Séries de Fourier trigonométriques

3.5 Séries de Fourier complexes

3.6 Bases orthogonales: compléments

3.1 VECTEURS ET SIGNAUX

- Composantes d'un vecteur
- Composantes d'un signal
- Produit scalaire

Composantes d'un vecteur

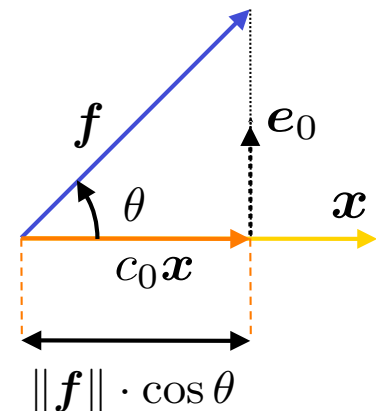
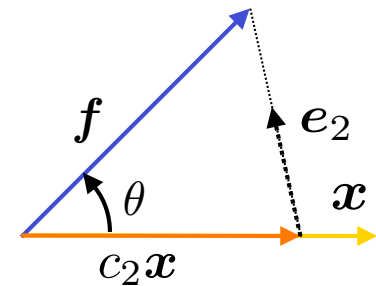
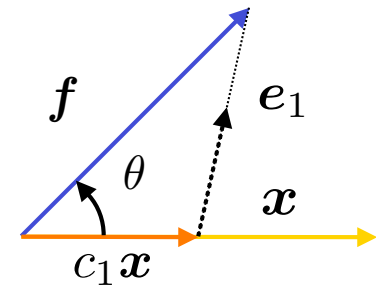
■ Géométrie vectorielle: notions de base

- Vecteur: $\mathbf{f} = (f_1, f_2, \dots, f_n) \in \mathbb{R}^n$
- Produit scalaire: $\langle \mathbf{f}, \mathbf{x} \rangle = f_1 x_1 + f_2 x_2 + \dots + f_n x_n$
- Norme: $\|\mathbf{f}\| = \langle \mathbf{f}, \mathbf{f} \rangle^{1/2} = \sqrt{f_1^2 + f_2^2 + \dots + f_n^2}$
- Angle entre deux vecteurs: $\cos \theta = \frac{\langle \mathbf{f}, \mathbf{x} \rangle}{\|\mathbf{f}\| \cdot \|\mathbf{x}\|}$

■ Meilleure approximation de \mathbf{f} par \mathbf{x}

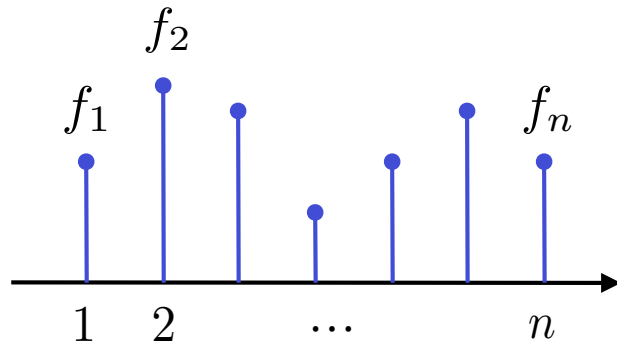
- Approximation linéaire: $\mathbf{f} \approx c\mathbf{x}$
- Calcul de l'erreur: $\|\mathbf{e}\|^2 = \|\mathbf{f} - c\mathbf{x}\|^2 = \|\mathbf{f}\|^2 + c^2\|\mathbf{x}\|^2 - 2c\langle \mathbf{f}, \mathbf{x} \rangle$
- Minimisation: **projection orthogonale!**

$$\mathbf{e}_0 \perp \mathbf{x} \quad \Leftrightarrow \quad \langle \mathbf{f} - c_0 \mathbf{x}, \mathbf{x} \rangle = 0 \quad \Rightarrow \quad c_0 = \frac{\langle \mathbf{f}, \mathbf{x} \rangle}{\langle \mathbf{x}, \mathbf{x} \rangle}$$



Norme et énergie d'un signal

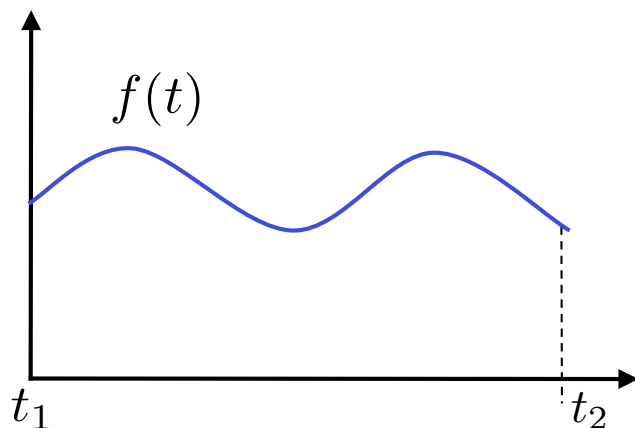
■ Vecteur comme un signal



$$\mathbf{f} = (f_1, f_2, \dots, f_n) \in \mathbb{R}^n$$

$$\text{Norme au carré: } \|\mathbf{f}\|^2 = \sum_{i=1}^n |f_i|^2 \quad (= \text{énergie})$$

■ Signal comme un vecteur



$$\text{Energie du signal: } \|f\|_{L_2}^2 = \int_{t_1}^{t_2} |f(t)|^2 dt$$

Espace vectoriel de signaux:

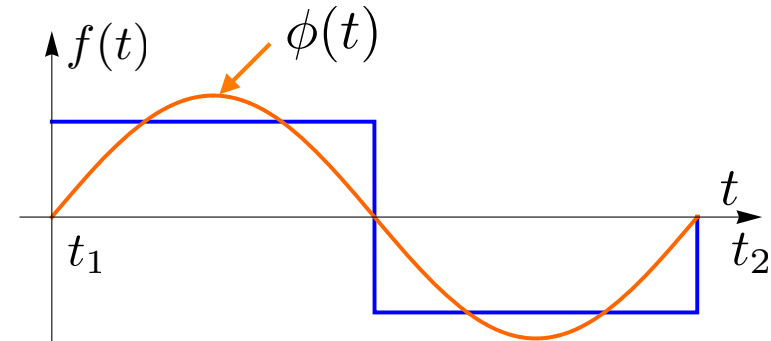
$$L_2([t_1, t_2]) = \left\{ f(t) : t \in [t_1, t_2] \wedge \int_{t_1}^{t_2} |f(t)|^2 dt < +\infty \right\}$$

Composantes d'un signal

■ Signal comme un point dans un espace vectoriel (espace de Hilbert)

■ Signal: $f \in L_2([t_1, t_2])$

■ Energie du signal: $\|f\|_{L_2}^2 = \int_{t_1}^{t_2} |f(t)|^2 dt$



■ Meilleure approximation de $f(t)$ par $\phi(t)$

■ Approximation linéaire: $f(t) \simeq c\phi(t)$

■ Erreur quadratique:

$$\|e\|_{L_2}^2 = \int_{t_1}^{t_2} (f(t) - c\phi(t))^2 dt = \|f\|_{L_2}^2 + c^2 \|\phi\|_{L_2}^2 - 2c \int_{t_1}^{t_2} f(t)\phi(t) dt$$

■ Minimisation: $\frac{\partial \|e\|_{L_2}^2}{\partial c} = 0 \quad \Rightarrow \quad c_0 = \frac{\int_{t_1}^{t_2} f(t)\phi(t) dt}{\|\phi(t)\|_{L_2}^2} = \frac{\langle f, \phi \rangle}{\langle \phi, \phi \rangle} ?$

Produit scalaire

■ Concepts mathématiques sous-jacents

- Espace vectoriel des signaux: $\forall f, g \in \mathcal{H}, \forall \alpha, \beta \in \mathbb{R} \Rightarrow \alpha f + \beta g \in \mathcal{H}$
- Mesure de norme ou d'énergie: $\|f\|^2$
- Forme bilinéaire: $\forall c \in \mathbb{R}, \langle f, c\phi \rangle = c\langle f, \phi \rangle$ t.q. $\|f\|^2 = \langle f, f \rangle$

■ Produit scalaire (réel)

Soit un espace vectoriel \mathcal{H} réel. On définit un produit scalaire associant à tout couple $f, g \in \mathcal{H}$ un réel noté $\langle f, g \rangle$ qui a les propriétés suivantes $\forall \alpha \in \mathbb{R}, \forall f, g, h \in \mathcal{H}$:

1. **Linéarité:** $\langle \alpha f, g \rangle = \alpha \langle f, g \rangle$ et $\langle f + g, h \rangle = \langle f, h \rangle + \langle g, h \rangle$
2. **Symétrie:** $\langle f, g \rangle = \langle g, f \rangle$
3. **Positivité:** $\|f\|^2 = \langle f, f \rangle > 0, \forall f \neq 0$

■ Exemples

- $\mathcal{H} = \mathbb{R}^n$: $\langle \mathbf{f}, \mathbf{g} \rangle = f_1 g_1 + f_2 g_2 + \cdots + f_n g_n$
- $\mathcal{H} = L_2([0, T])$: $\langle f, g \rangle = \frac{1}{T} \int_0^T f(t)g(t) dt$

Produit scalaire (suite)

■ Produit scalaire hermitien

Soit un espace vectoriel \mathcal{H} complexe. On définit un produit scalaire associant à tout couple $f, g \in \mathcal{H}$ un complexe noté $\langle f, g \rangle$ qui a les propriétés suivantes $\forall \alpha \in \mathbb{C}, \forall f, g, h \in \mathcal{H}$:

1. **Linéarité:** $\langle \alpha f, g \rangle = \alpha \langle f, g \rangle$ et $\langle f + g, h \rangle = \langle f, h \rangle + \langle g, h \rangle$
2. **Symétrie hermitienne:** $\langle f, g \rangle = \langle g, f \rangle^*$
3. **Positivité:** $\|f\|^2 = \langle f, f \rangle > 0, \forall f \neq 0$

Généralisation du cas réel (symétrie \rightarrow symétrie hermitienne)

Implication: $1 + 2 \Rightarrow \langle f, \alpha g \rangle = \alpha^* \langle f, g \rangle$

■ Exemples

- $\mathcal{H} = \mathbb{C}^n$: $\langle \mathbf{f}, \mathbf{g} \rangle = f_1 g_1^* + f_2 g_2^* + \cdots + f_n g_n^*$
- $\mathcal{H} = L_2([0, T])$ complexe: $\langle f, g \rangle = \frac{1}{T} \int_0^T f(t) g^*(t) dt$

3.2 COMPARAISON DE SIGNAUX

- Corrélation et similarité
- Corrélation normalisée
- Fonction d'intercorrélation: définition
- Intercorrélation et convolution
- Application à la détection

Corrélation et similarité

■ Comparaison de signaux par mesure de distance

$$d(f, g) = \|f - g\| = \left(\int_{t_1}^{t_2} (f(t) - g(t))^2 dt \right)^{1/2}$$

$$d(f, g) = 0 \quad \Leftrightarrow \quad f = g \quad \text{p.p.}$$

■ Mesure de similarité et corrélation

Hypothèse: il existe un produit scalaire associé t.q. $\|f\|^2 = \langle f, f \rangle$

$$\|f - g\|^2 = \langle f - g, f - g \rangle = \|f\|^2 + \|g\|^2 - 2\langle f, g \rangle$$

Donc si $\|f\|^2 = \text{cste}$ et $\|g\|^2 = \text{cste}$, alors

$$\|f - g\| \text{ minimum} \quad \Leftrightarrow \quad \langle f, g \rangle \text{ maximum}$$

■ Fonction d'intercorrélation

Degré de similarité entre deux signaux en fonction de leur décalage relatif

Corrélation normalisée

But: Définir une mesure de similarité qui ne dépend pas de l'amplitude des signaux

■ Corrélation normalisée (ou coefficient de corrélation)

$$\rho(f, g) = \frac{\langle f, g \rangle}{\|f\| \cdot \|g\|}$$

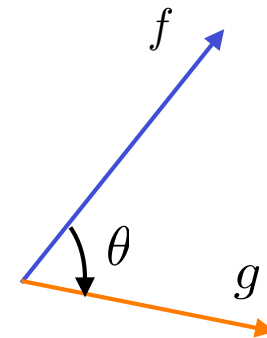
Valable pour tout produit scalaire

■ Inégalité de Cauchy-Schwarz

Quel que soit le produit scalaire, on a l'inégalité suivante

$$|\langle f, g \rangle| \leq \|f\| \cdot \|g\|$$

avec égalité si et seulement si $f = \alpha \cdot g$ avec α scalaire.



$$\cos \theta = \frac{\langle f, g \rangle}{\|f\| \cdot \|g\|}$$

■ Implications pour la corrélation normalisée

- $-1 \leq \rho(f, g) \leq 1$
- $\rho(f, g) = 1 \Leftrightarrow f = \alpha \cdot g \quad \text{p.p.}$
- $\rho(f, g)$ peut être assimilé au $\cos \theta$ entre deux vecteurs ou signaux

Fonction d'intercorrélation: définition

- Produit scalaire pour signaux complexes à énergie finie

$$\langle x, y \rangle_{L_2} = \int_{-\infty}^{+\infty} x(t) y^*(t) dt$$

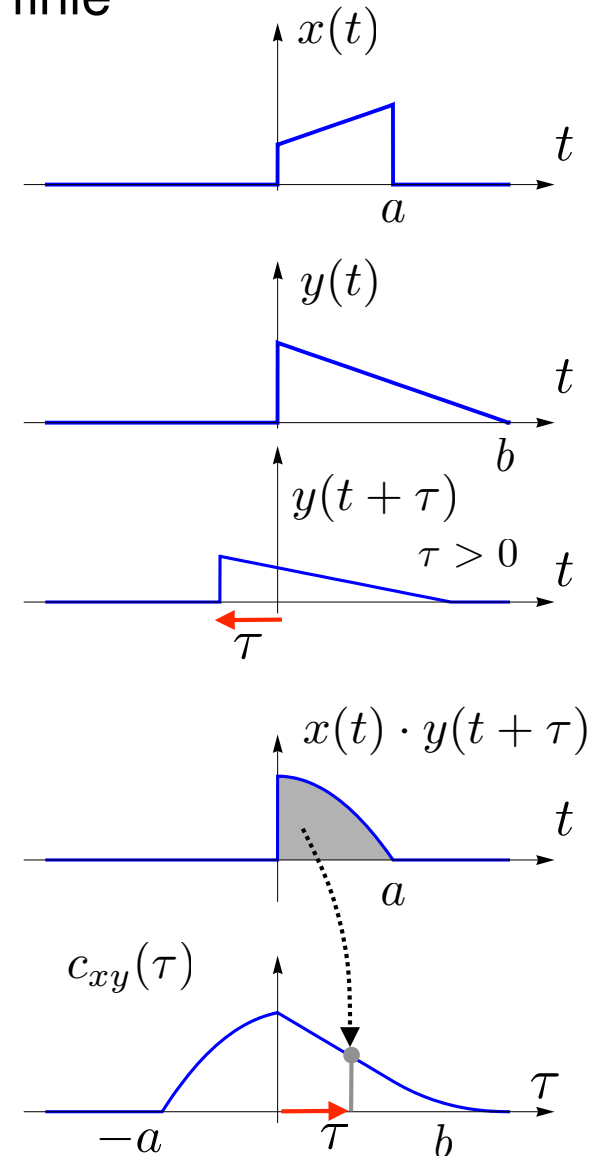
$x(t)$, $y(t)$ signaux complexes ou réels

$$c_{xy}(\tau) = \langle x(\cdot), y(\cdot + \tau) \rangle = \int_{-\infty}^{+\infty} x(t) \cdot y^*(t + \tau) dt$$

$$c_{yx}(\tau) = \langle y(\cdot), x(\cdot + \tau) \rangle = \int_{-\infty}^{+\infty} y(t) \cdot x^*(t + \tau) dt$$

$c_{xy}(\tau)$: intercorrélation entre $x(t)$ et $y(t + \tau)$

$c_{yx}(\tau)$: intercorrélation entre $y(t)$ et $x(t + \tau)$



Corrélation et convolution

Intercorrélation

$$c_{xy}(\tau) = \int_{-\infty}^{+\infty} x(t) \cdot y^*(t + \tau) dt$$

Convolution

$$(g * h)(\tau) = \int_{-\infty}^{+\infty} g(\tau - u) \cdot h(u) du$$

$$c_{xy}(\tau) = \langle x, y(\cdot + \tau) \rangle \overset{t + \tau = u}{\underset{\text{orange arrow}}{=}} \int_{-\infty}^{+\infty} x(u - \tau) \cdot y^*(u) du = \int_{-\infty}^{+\infty} x^\vee(\tau - u) \cdot y^*(u) du$$

Opérateur de renversement: $x^\vee(\tau) = x(-\tau)$

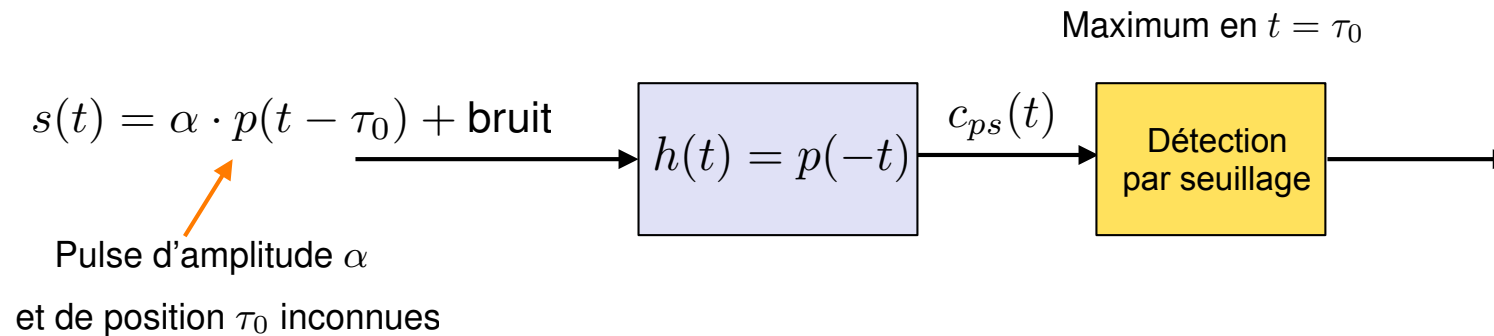
Donc: $c_{xy}(\tau) = (x^\vee * y^*)(\tau)$

Suit: $c_{yx}(\tau) = (y^\vee * x^*)(\tau) = (x^* * y^\vee)(\tau) = c_{xy}^*(-\tau)$

$$c_{yx}(\tau) = c_{xy}^*(-\tau)$$

Si $x(t)$, $y(t)$ réels: $c_{yx}(\tau) = c_{xy}(-\tau)$

Application: détection de signaux



- Structure du détecteur
Corrélateur = filtre analogique (ou digital)
- Détecteur optimal en présence de bruit blanc
Filtre adapté
- Applications:
 - Radar
 - Sonar, Ultrasons
 - Communications

Demo sonar

3.3 APPROXIMATION DE SIGNAUX

- Changement de base dans le plan
- Espaces de Hilbert
- Système orthonormal de fonctions
- Approximation aux moindres carrés

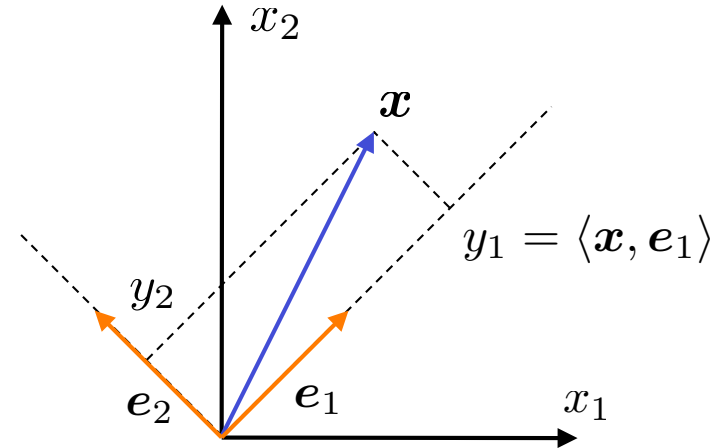
Changement de base dans le plan

Soit $\mathbf{x} = (x_1, x_2)$ un point (vecteur) dans le plan \mathbb{R}^2 .

Soit $\{\mathbf{e}_1, \mathbf{e}_2\}$ une base orthonormale de \mathbb{R}^2 t.q.

$$\langle \mathbf{e}_i, \mathbf{e}_j \rangle = \delta_{i-j} = \begin{cases} 1, & i = j \\ 0, & i \neq j \end{cases}$$

Comment représente-t-on \mathbf{x} dans la base $\{\mathbf{e}_1, \mathbf{e}_2\}$?



■ Changement de base: $(x_1, x_2) \rightarrow (y_1, y_2)$

$$\mathbf{x} = y_1 \mathbf{e}_1 + y_2 \mathbf{e}_2 \quad \text{avec} \quad y_i = \langle \mathbf{x}, \mathbf{e}_i \rangle$$

$$\text{ou, sous forme plus concise, } \mathbf{x} = \sum_i \langle \mathbf{x}, \mathbf{e}_i \rangle \mathbf{e}_i$$

Espace de Hilbert

Un espace de Hilbert \mathcal{H} est un espace vectoriel, typiquement de dimension infinie, muni d'un produit scalaire $\langle x, y \rangle$.

■ Exemples

- Le plan \mathbb{R}^2 avec $\langle x, y \rangle = x_1 y_1 + x_2 y_2$
- $L_2([0, T])$: l'espace des signaux à durée et énergie finies avec $\langle x, y \rangle = \frac{1}{T} \int_0^T x(t) y^*(t) dt$
- $L_2(\mathbb{R})$: l'espace des signaux à énergie finie avec $\langle x, y \rangle_{L_2} = \int_{-\infty}^{+\infty} x(t) y^*(t) dt$

Le produit scalaire spécifie

1) la notion d'orthogonalité: $x \perp y \Leftrightarrow \langle x, y \rangle = 0$

2) la notion de similarité par l'intermédiaire de la norme

$$\|x\| = \sqrt{\langle x, x \rangle} : \|x - y\| = 0 \Leftrightarrow x = y$$

Système orthonormal de fonctions

■ Espace de Hilbert: $L_2([0, T])$

Produit scalaire associé: $\langle x, y \rangle = \frac{1}{T} \int_0^T x(t) y^*(t) dt$

■ Définition

Le système de fonctions $\phi_1(t), \dots, \phi_N(t)$ est orthonormal si et seulement si

$$\langle \phi_m, \phi_n \rangle = \frac{1}{T} \int_0^T \phi_m(t) \phi_n^*(t) dt = \delta_{m-n} \quad (\text{Delta de Kronecker})$$

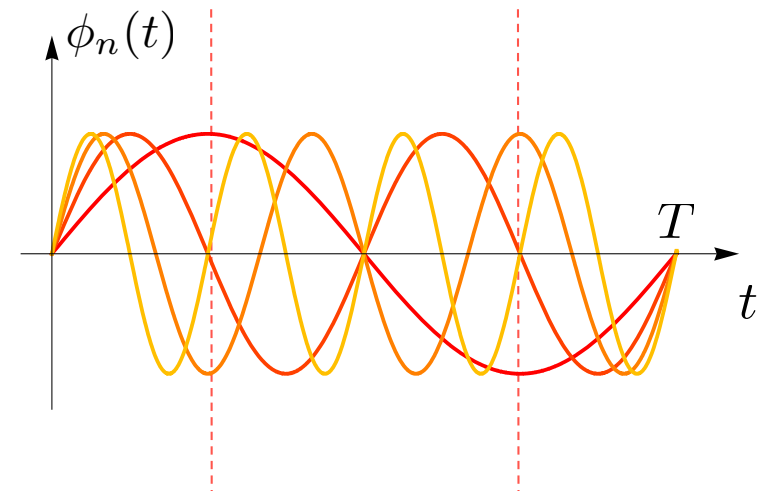
■ Exemple

Les fonctions sinusoïdales: $\phi_n(t) = \sqrt{2} \sin\left(\frac{2\pi n t}{T}\right)$

En effet,

$$\langle \phi_m(t), \phi_n(t) \rangle = 0, \quad m \neq n \quad (\text{argument de symétrie})$$

$$\|\phi_n\|^2 = \frac{1}{T} \int_0^T |\phi_n(t)|^2 dt = 2 \int_0^1 \sin^2(2\pi n \tau) d\tau = 1$$



Approximation aux moindres carrés

Soit ϕ_1, \dots, ϕ_N un système orthonormal de fonctions dans \mathcal{H}

■ Questions

- Comment approche-t-on un élément $x \in \mathcal{H}$ à l'aide des ϕ_n ?
- Quelle est l'erreur d'approximation?

■ Théorème d'approximation orthogonale

La meilleure approximation de $x \in \mathcal{H}$ par une combinaison linéaire de fonctions orthonormales $\phi_1, \dots, \phi_N \in \mathcal{H}$ est

$$x_N = \sum_{n=1}^N c_n \phi_n \quad \text{avec} \quad c_n = \langle x, \phi_n \rangle$$

L'erreur (minimale) correspondante est

$$\|x - x_N\|^2 = \|x\|^2 - \|x_N\|^2 \quad \text{avec} \quad \|x_N\|^2 = \sum_{n=1}^N |c_n|^2$$

Preuve du théorème d'approximation orthogonale

Système orthonormal et énergie d'un signal: $y = \sum_{n=1}^N a_n \phi_n \Rightarrow \|y\|^2 = \sum_{n=1}^N |a_n|^2$

En effet: $\|y\|^2 = \left\langle \sum_{n=1}^N a_n \phi_n, \sum_{m=1}^N a_m \phi_m \right\rangle \underset{\text{linéarité}}{=} \sum_{n=1}^N a_n \sum_{m=1}^N a_m^* \langle \phi_n, \phi_m \rangle \underset{\text{orthogonalité}}{=} \sum_{n=1}^N |a_n|^2$

Soit $y = \sum_{n=1}^N a_n \phi_n$ et $c_n = \langle x, \phi_n \rangle$ alors

$$\|x - y\|^2 = \langle x - y, x - y \rangle = \|x\|^2 - \langle x, y \rangle - \langle y, x \rangle + \|y\|^2$$

$$\langle x, y \rangle = \left\langle x, \sum_{n=1}^N a_n \phi_n \right\rangle = \sum_{n=1}^N a_n^* \langle x, \phi_n \rangle = \sum_{n=1}^N a_n^* c_n = \langle y, x \rangle^*$$

Ce qui implique $\|x - y\|^2 = \|x\|^2 - \sum_{n=1}^N a_n^* c_n - \sum_{n=1}^N a_n c_n^* + \sum_{n=1}^N |a_n|^2$ **Demo JPEG**

$$= \|x\|^2 - \sum_{n=1}^N |c_n|^2 + \sum_{n=1}^N |a_n - c_n|^2 \quad \text{minimum pour } a_n = c_n$$

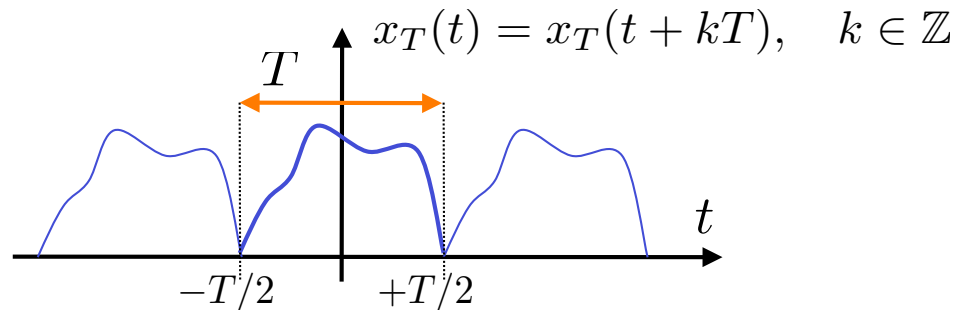
En effet: $|a_n - c_n|^2 = (a_n - c_n)(a_n^* - c_n^*) = |a_n|^2 + |c_n|^2 - a_n^* c_n - a_n c_n^*$

3.4 SERIES DE FOURIER TRIGONOMETRIQUES

- Séries de Fourier trigonométriques
- Spectre d'un signal périodique
- Interprétation Hilbertienne
- Orthogonalité des co-sinusoïdes
- Séries de Fourier généralisées

Séries de Fourier trigonométriques

- Signal réel périodique de période T



$$\omega_0 = \frac{2\pi}{T}$$

Pulsation
fondamentale

- Décomposition en série de Fourier

$$x_T(t) = a_0 + \sum_{n=1}^{+\infty} (2a_n \cos(n\omega_0 t) + 2b_n \sin(n\omega_0 t))$$



- Calcul des coefficients de Fourier

$$a_n = \frac{1}{T} \int_{-T/2}^{T/2} x_T(t) \cos(n\omega_0 t) dt$$

$$b_n = \frac{1}{T} \int_{-T/2}^{T/2} x_T(t) \sin(n\omega_0 t) dt$$

Condition d'existence

$$\int_{-T/2}^{T/2} |x_T(t)| dt < +\infty$$

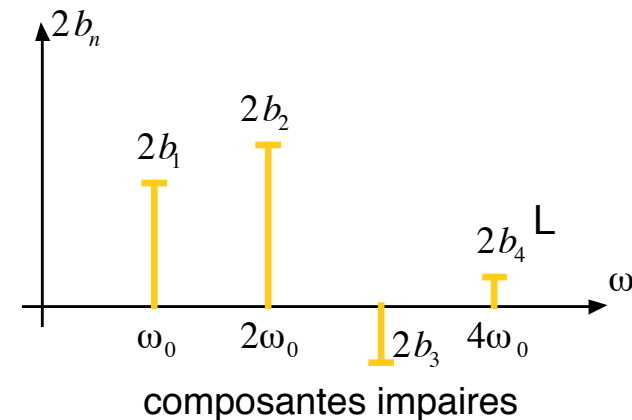
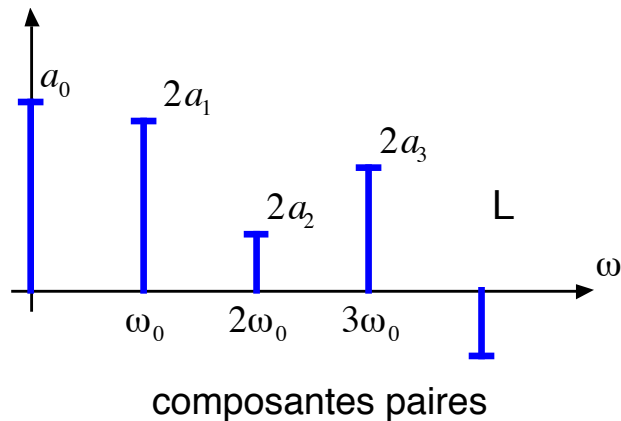
Spectre d'un signal périodique

■ Notion de spectre discret

Un signal périodique est décrit de façon unique par ses coefficients de Fourier a_0 , $2a_n$, $2b_n$

$\Rightarrow x(t)$ possède un «spectre de lignes», un «spectre discret»

■ Représentation graphique des lignes spectrales



■ Décomposition en partie paire et impaire

$$x(t) = x_p(t) + x_i(t)$$

$$x_p(t) = a_0 + \sum_{n=1}^{+\infty} 2a_n \underbrace{\cos(n\omega_0 t)}_{\text{f.p.}}; \quad x_i(t) = \sum_{n=1}^{+\infty} 2b_n \underbrace{\sin(n\omega_0 t)}_{\text{f.i.}}$$

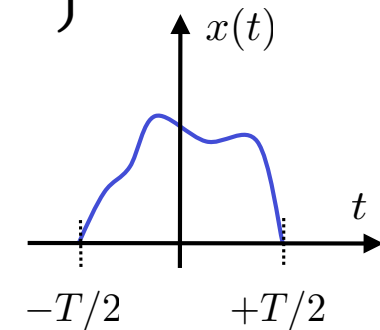
Interprétation Hilbertienne

■ Espace de Hilbert des signaux à durée et énergie finies

$$L_2 \left(\left[-\frac{T}{2}, \frac{T}{2} \right] \right) = \left\{ x(t) : x(t) = 0, |t| > \frac{T}{2}, \int_{-T/2}^{T/2} |x(t)|^2 dt < +\infty \right\}$$

■ Produit scalaire associé

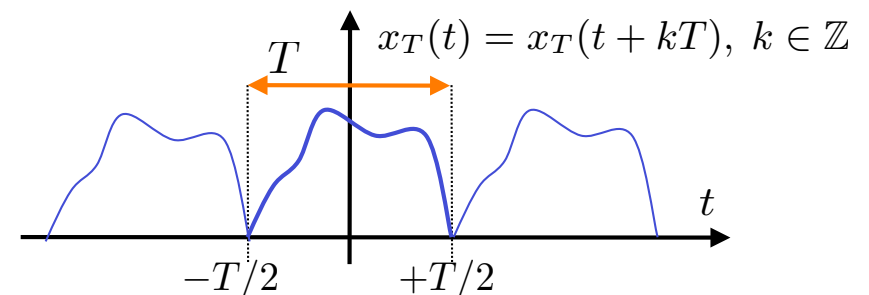
$$\langle x, y \rangle = \frac{1}{T} \int_{-T/2}^{T/2} x(t)y(t) dt$$



Théorème: $\{1, \sqrt{2} \cos(n\omega_0 t), \sqrt{2} \sin(n\omega_0 t)\}_{n \in \mathbb{N}^+}$ est une base orthonormale pour $L_2 \left(\left[-\frac{T}{2}, \frac{T}{2} \right] \right)$

\Rightarrow Tout signal $x(t) \in \mathcal{H}$ admet une décomposition unique en somme de fonctions (co-)sinusoïdales

■ Extension naturelle aux signaux périodiques



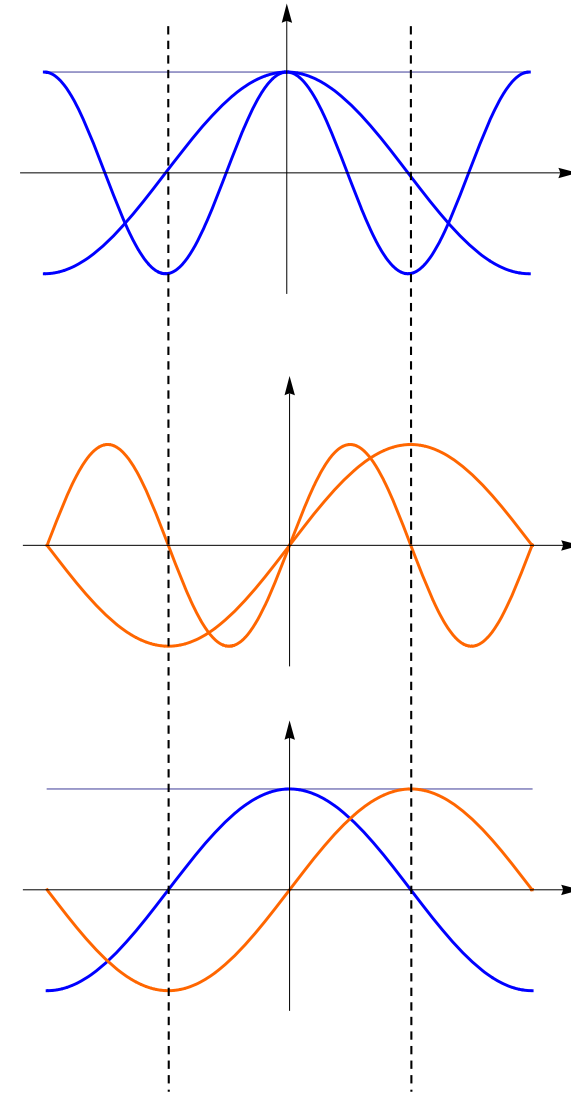
Orthogonalité des (co-)sinusoïdes

■ Relations fondamentales d'orthogonalité

$$\frac{2}{T} \int_{-T/2}^{T/2} \cos\left(\frac{m2\pi t}{T}\right) \cos\left(\frac{n2\pi t}{T}\right) dt = \delta_{m-n}$$

$$\frac{2}{T} \int_{-T/2}^{T/2} \sin\left(\frac{m2\pi t}{T}\right) \sin\left(\frac{n2\pi t}{T}\right) dt = \delta_{m-n}$$

$$\frac{2}{T} \int_{-T/2}^{T/2} \cos\left(\frac{m2\pi t}{T}\right) \sin\left(\frac{n2\pi t}{T}\right) dt = 0$$



Séries de Fourier généralisées

Soit $\{\phi_n(t)\}_{n \in \mathbb{Z}}$ un ensemble de fonctions orthonormales formant une base de $\mathcal{H} = L_2\left(\left[-\frac{T}{2}, \frac{T}{2}\right]\right)$

■ Orthonormalité

$$\langle \phi_m, \phi_n \rangle = \frac{1}{T} \int_{-T/2}^{+T/2} \phi_m(t) \phi_n(t) dt = \delta_{m-n} = \begin{cases} 1, & m = n \\ 0, & m \neq n \end{cases}$$

■ Séries de Fourier généralisées

$$x(t) = \sum_{n \in \mathbb{Z}} a_n \phi_n(t) \quad \text{avec} \quad a_n = \langle x, \phi_n \rangle = \frac{1}{T} \int_{-T/2}^{+T/2} x(t) \phi_n(t) dt$$

■ Vérification

$$\text{Soit } x(t) = \sum_n a_n \phi_n(t)$$

$$a_m = \langle x, \phi_m \rangle = \left\langle \sum_n a_n \phi_n, \phi_m \right\rangle \stackrel{\text{linéarité du produit scalaire}}{=} \sum_n a_n \underbrace{\langle \phi_n, \phi_m \rangle}_{\delta_{n-m}} = a_m$$

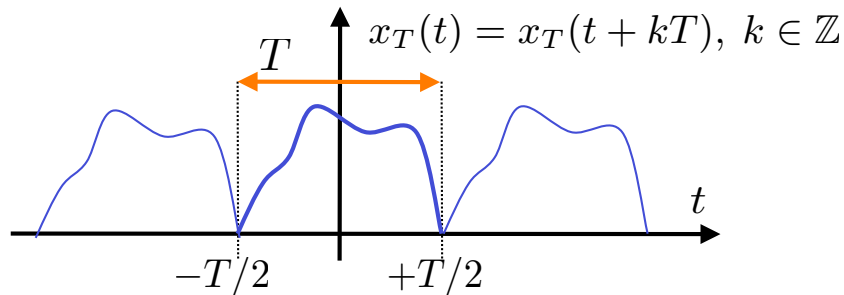
Encore faut-il s'assurer que la famille $\{\phi_n(t)\}_{n \in \mathbb{Z}}$ est complète...

3.5 SERIES DE FOURIER COMPLEXES

- Séries de Fourier (cas complexe)
- Simplification du calcul réel
- Amplitude et phase
- Interprétation du spectre de Fourier
- Espace de Hilbert complexe

Série de Fourier (cas complexe)

- Signal complexe périodique de période T



$$\omega_0 = \frac{2\pi}{T}$$

Pulsation
fondamentale

- Décomposition en série de Fourier complexe

$$x_T(t) = \sum_{n \in \mathbb{Z}} c_n e^{jn\omega_0 t}$$

- Calcul des coefficients de Fourier

$$c_n = \frac{1}{T} \int_{-T/2}^{T/2} x_T(t) e^{-jn\omega_0 t} dt = \langle x_T, e^{jn\omega_0 t} \rangle$$

Condition d'existence (suffisante):

$$\int_{-T/2}^{T/2} |x_T(t)| dt < +\infty \Rightarrow |c_n| < +\infty$$

Simplification du calcul réel

- Coefficient de Fourier d'un signal réel $x_T(t) = x_T^*(t)$

$$c_n = \frac{1}{T} \int_{-T/2}^{T/2} x_T(t) e^{-jn\omega_0 t} dt \quad c_{-n} = \frac{1}{T} \int_{-T/2}^{T/2} x_T(t) e^{jn\omega_0 t} dt = c_n^*$$

- Lien avec la série de Fourier réelle

$$c_0 = a_0 \text{ (valeur moyenne)}$$

$$c_n = c_{-n}^* = a_n - jb_n$$

En effet:
$$c_n = \frac{1}{T} \int_{-T/2}^{T/2} x_T(t) (\cos(n\omega_0 t) - j \sin(n\omega_0 t)) dt$$

$$= \underbrace{\frac{1}{T} \int_{-T/2}^{T/2} x_T(t) \cos(n\omega_0 t) dt}_{a_n = \frac{1}{2}(c_n + c_{-n})} - j \underbrace{\frac{1}{T} \int_{-T/2}^{T/2} x_T(t) \sin(n\omega_0 t) dt}_{b_n = \frac{1}{2j}(-c_n + c_{-n})}$$

Relations d'Euler:

$$e^{j\theta} = \cos \theta + j \sin \theta$$

$$\cos \theta = \frac{e^{j\theta} + e^{-j\theta}}{2}$$

$$\sin \theta = \frac{e^{j\theta} - e^{-j\theta}}{2j}$$

- Avantages de la représentation complexe

- Simplification de l'écriture et des calculs (merci, Euler!)
- Mise en évidence des symétries par l'introduction des fréquences négatives

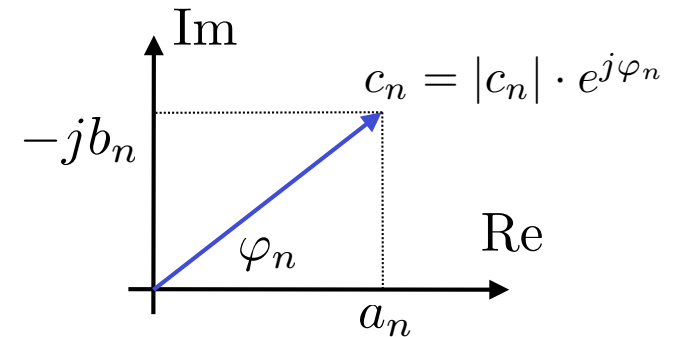
Amplitude et phase

■ Représentation polaire des coefficients de Fourier

$$c_n = a_n - jb_n = |c_n| \cdot e^{j\varphi_n}$$

Amplitude de c_n : $|c_n| = \sqrt{a_n^2 + b_n^2}$

Phase de c_n : $\varphi_n = \arg(c_n) = \arctan\left(\frac{-b_n}{a_n}\right) + k\pi, \quad k \in \mathbb{Z}$



■ Formule de reconstruction dans le cas réel

$$\begin{aligned} x_T(t) &= \sum_{n \in \mathbb{Z}} c_n e^{jn\omega_0 t} = c_0 + \sum_{n=1}^{+\infty} c_n e^{jn\omega_0 t} + \sum_{n=1}^{+\infty} \overbrace{c_n^*}^{c_{-n}} e^{-jn\omega_0 t} \\ &= c_0 + 2 \operatorname{Re} \left(\sum_{n=1}^{+\infty} c_n e^{jn\omega_0 t} \right) = c_0 + 2 \operatorname{Re} \left(\sum_{n=1}^{+\infty} |c_n| e^{j(n\omega_0 t + \varphi_n)} \right) \\ &= c_0 + 2 \sum_{n=1}^{+\infty} |c_n| \cos(n\omega_0 t + \varphi_n) \end{aligned}$$

Séries de Fourier: exemple

■ Signal rectangulaire

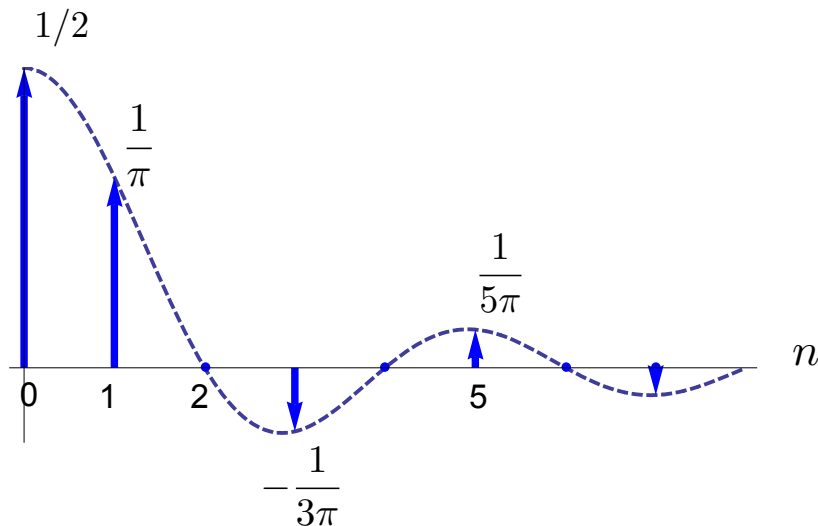
$$x_T(t) = \begin{cases} 1, & t \in (-T/4, T/4) \\ 0, & t \in [-T/2, -T/4) \cup [T/4, T/2) \end{cases}$$

■ Coefficients de Fourier

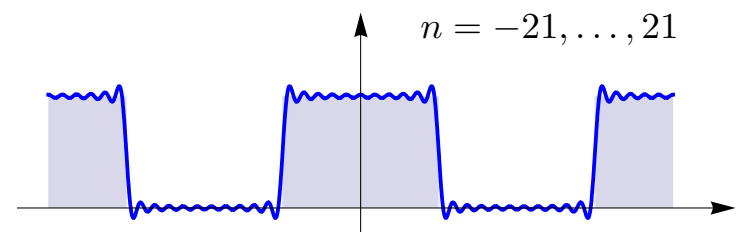
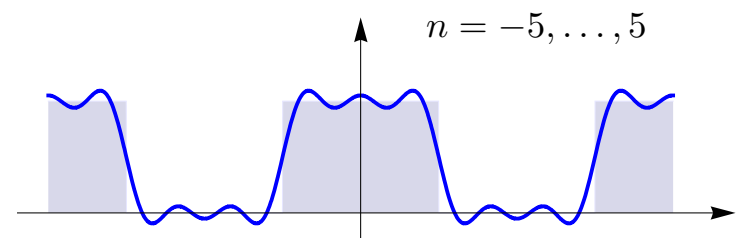
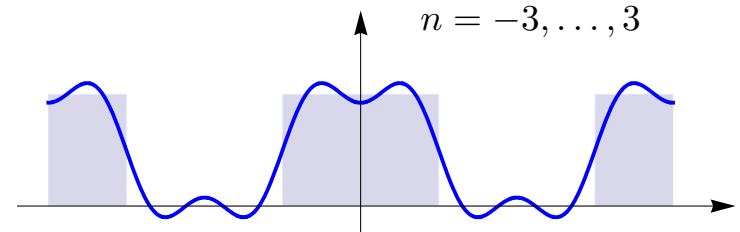
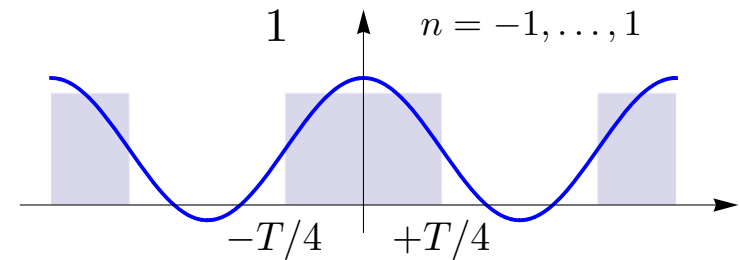
$$c_n = \frac{1}{T} \int_{-T/4}^{+T/4} e^{-j2\pi nt/T} dt = \frac{e^{-j2\pi nt/T} \Big|_{-T/4}^{+T/4}}{-j2\pi n} = \frac{\sin(\pi n/2)}{\pi n}$$

■ Spectre de Fourier

$$c_n = |c_n| \cdot e^{j\varphi_n} \quad \varphi_n = \begin{cases} \pi, & n = 3, 7, 11, \dots \\ 0, & \text{sinon} \end{cases}$$



■ Séries de Fourier tronquées



Interprétation du spectre de Fourier

■ Amplitude

- Plus un signal est à variation lente, plus son spectre décroît de façon rapide.
- Concept de largeur de bande: domaine spectral sur lequel les amplitudes spectrales $|c_n|$ ne sont pas négligeables. Typiquement, un signal à variation rapide a une largeur de bande supérieure à celle d'un signal à variation lente.
- Degré de différentiabilité. La présence d'une discontinuité se traduit par une décroissance lente du spectre; e.g., $1/n$. On démontre que si les k premières dérivées d'un signal sont bornées, alors son spectre décroît au moins comme $1/n^k$.

■ Phase

- La phase a un rôle crucial pour reproduire la forme d'un signal. Pour générer un saut brusque, il est primordial que les fronts (zéros) des sinusoïdes soient bien en phase.

■ Symétrie

- Signal réel: $c_{-n} = c_n^*$
- Signal réel pair: $c_n = \text{Re}(c_n) = a_n \Rightarrow$ spectre réel
- Signal réel impair: $c_n = j \text{Im}(c_n) = -jb_n \Rightarrow$ spectre purement imaginaire

Espace de Hilbert complexe

■ Espace des signaux complexes à durée et énergie finies

$$\mathcal{H}_T = \left\{ x(t) : x(t) \in \mathbb{C}, \int_{-T/2}^{T/2} |x(t)|^2 dt < +\infty \text{ et } x(t) = 0 \text{ pour } |t| > \frac{T}{2} \right\}$$

$$\text{Produit scalaire associé: } \langle x, y \rangle = \frac{1}{T} \int_{-T/2}^{T/2} x(t) y^*(t) dt$$

Théorème: $\{e^{jn\omega_0 t}\}_{n \in \mathbb{Z}}$ est une base orthonormale de \mathcal{H}_T

$$\Rightarrow \quad \forall x(t) \in \mathcal{H}_T, \quad x = \sum_{n \in \mathbb{Z}} \underbrace{\langle x, e^{jn\omega_0 \cdot} \rangle}_{c_n} \cdot e^{jn\omega_0 t}$$

Orthogonalité des exponentielles complexes

$$\langle e^{jm\omega_0 \cdot}, e^{jn\omega_0 \cdot} \rangle = \frac{1}{T} \int_{-T/2}^{T/2} e^{jm\omega_0 t} e^{-jn\omega_0 t} dt = \delta_{m-n}$$

$$\text{Justification: } \int_{-\frac{1}{2}}^{\frac{1}{2}} e^{j2\pi(n-m)t} dt = 0 \text{ pour } m \neq n \text{ (compensation des valeurs positives et négatives)}$$

3.6 BASES ORTHOGONALES: COMPLEMENTS

- Bases orthonormales
- Systèmes complets: de Bessel à Parseval
- Parseval et séries de Fourier
- Phénomène de Gibbs

Bases orthonormales

■ Structure mathématique requise

Espace de Hilbert \mathcal{H} muni d'un produit scalaire $\langle x, y \rangle$ qui spécifie les notions de norme et d'orthogonalité

■ Bases orthonormales: propriétés fondamentales

1) les fonctions $\phi_n \in \mathcal{H}$ doivent être orthonormales; c.à d. $\langle \phi_m, \phi_n \rangle = \delta_{m-n}$

2) le système $\{\phi_n\}$ doit être complet; c. à d.

“tout élément de \mathcal{H} peut se représenter de façon exacte”

“il n'existe aucun élément non nul de \mathcal{H} orthogonal à tous les ϕ_n ”

\Rightarrow le point délicat en dimension infinie!

■ Développement dans une base orthonormale

$$\forall x \in \mathcal{H}, x = \sum_n \langle x, \phi_n \rangle \phi_n \quad \Leftrightarrow \quad \forall x \in \mathcal{H}, \left\| x - \sum_n \langle x, \phi_n \rangle \phi_n \right\| = 0$$

Systèmes complets: de Bessel à Parseval

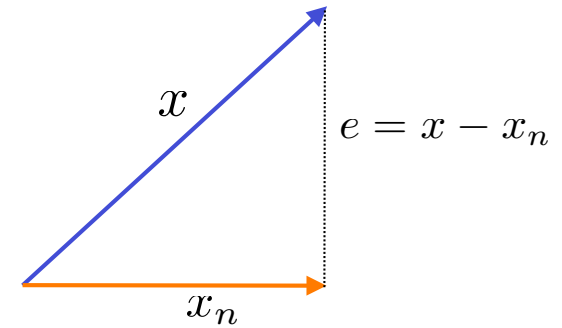
■ Inégalité de Bessel

Soit $\{\phi_n\}_{n \in \mathbb{N}}$ un système de fonctions orthonormales dans \mathcal{H} .

$$\forall x \in \mathcal{H}, \sum_{n \in \mathbb{N}} |\langle x, \phi_n \rangle|^2 = \sum_{n \in \mathbb{N}} |c_n|^2 \leq \|x\|^2$$

Preuve: Application du théorème d'approximation orthogonale

$$\|x - x_N\|^2 = \|x\|^2 - \|x_N\|^2 = \|x\|^2 - \sum_{n=0}^N |c_n|^2 \geq 0 \Rightarrow \sum_{n=0}^N |c_n|^2 \leq \|x\|^2$$



$$\|x\|^2 = \|x_n\|^2 + \|e\|^2$$

■ Définition

Le système orthonormal $\{\phi_n\}_{n \in \mathbb{N}}$ est **complet** si et seulement si

$$\forall x \in \mathcal{H}, \lim_{N \rightarrow +\infty} \|x - x_N\|^2 = \left\| x - \sum_{n \in \mathbb{N}} \langle x, \phi_n \rangle \phi_n \right\|^2 = 0$$

■ Théorème de Parseval

$\{\phi_n\}_{n \in \mathbb{N}}$ est un système orthonormal complet—et donc une base orthonormale de \mathcal{H} —

si et seulement si $\forall x \in \mathcal{H}, \sum_{n \in \mathbb{N}} |\langle x, \phi_n \rangle|^2 = \sum_{n \in \mathbb{N}} |c_n|^2 = \|x\|^2$

Parseval et séries de Fourier

Coefficients de Fourier complexes: $c_n = \langle x, \phi_n \rangle = \frac{1}{T} \int_{-T/2}^{T/2} x(t) e^{-jn\omega_0 t} dt$

Relation de Parseval

$$\|x\|^2 = \frac{1}{T} \int_{-T/2}^{T/2} |x(t)|^2 dt = \sum_{n \in \mathbb{Z}} |c_n|^2$$

Série tronquée: $x_N = \sum_{n=-N}^N c_n e^{jn\omega_0 t}$

Erreur d'approximation: $\|x - x_N\|^2 = \|x\|^2 - \sum_{n=-N}^{+N} |c_n|^2 \xrightarrow{N \rightarrow \infty} 0$

■ Convergence des séries de Fourier

C'est une question qui a longtemps laissé les mathématiciens perplexes et qui n'a été résolue, de façon satisfaisante, qu'au début du 20ème siècle (théorie de Lebesgue).

La convergence *uniforme* nécessite, en particulier, que $x(t)$ soit continue.

Autrement, on a seulement une convergence au sens de la norme L_2 (cf. Gibbs).

De plus, si $x \in L_2 \left(\left[-\frac{T}{2}, \frac{T}{2} \right] \right)$, la convergence ponctuelle (*i.e.*, $\lim_{N \rightarrow \infty} x_N(t_0) = x(t_0)$) est assurée *presque partout* (Carleson, 1966; Prix Abel 2006).

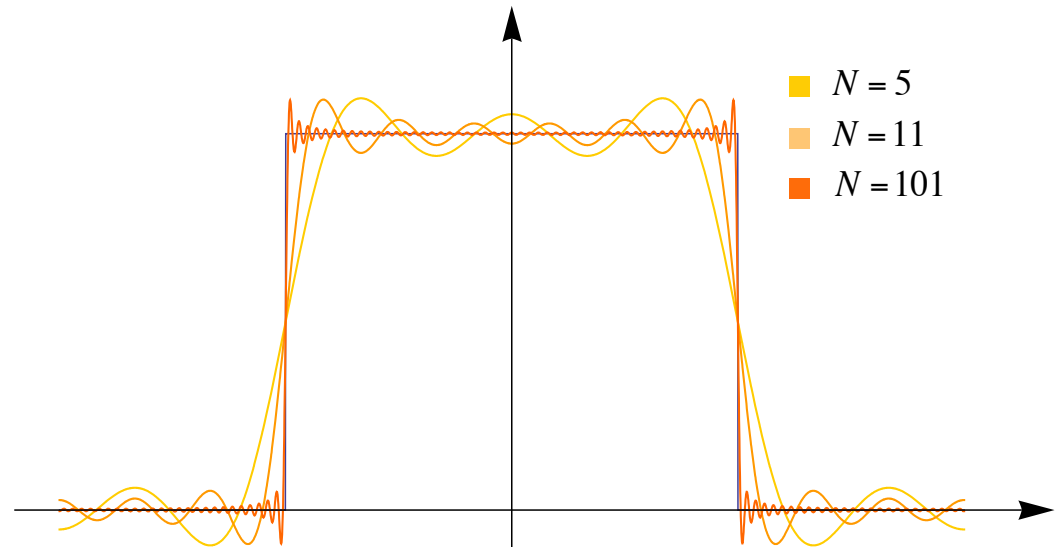
Phénomène de Gibbs

Décomposition en série de Fourier d'une onde rectangulaire de période $T = 1$

$$x(t) = \begin{cases} 0, & -\frac{1}{2} \leq t < -\frac{1}{4} \\ 1, & -\frac{1}{4} < t < +\frac{1}{4} \\ 0, & +\frac{1}{4} < t < +\frac{1}{2} \end{cases}$$

$$x_N(t) = \sum_{n=-N}^{+N} c_n e^{j2\pi n t}$$

$$c_n = \int_{-1/4}^{+1/4} e^{-j2\pi n t} dt = \frac{\sin(n\pi/2)}{n\pi}$$



■ Commentaires

Deux ensembles de conditions suffisantes pour la convergence uniforme des séries de Fourier sont:

- $x(t)$ continue et $\sum_{n \in \mathbb{Z}} |c_n| < +\infty$
- $x(t)$ ainsi que sa dérivée sont à énergie finie;

Aucun n'est satisfait ici!